

# 祁连山青海云杉林辐射平衡研究<sup>1)</sup>

王金叶 张 虎 车克钧 阎文德 王艺林

(甘肃省祁连山水源林研究所, 张掖 734000)

## 提 要

研究了青海云杉林的辐射平衡, 表明青海云杉林林冠辐射平衡各分量在总辐射中所占的比例为: 反射辐射 12.07%, 净长波辐射 29.46%, 净全辐射 58.47%, 辐射平衡各分量与总辐射线性回归, 相关紧密; 青海云杉林林内总辐射比林外减少 71.02%, 林内净辐射变幅小于林冠层。

关键词: 祁连山 青海云杉林 辐射平衡 净辐射

## 1 试验区概况

试验区分别设在祁连山寺大隆林区(38°27'N, 99°54'E)和西水大野口林区(38°24'N, 100°17'E), 属温带高寒半干旱山地森林草原气候, 年平均气温 0.7°C, 最热月(7月)气温 12.2°C, 最冷月(1月)气温 -12.9°C, 年降雨量 433.6mm, 年蒸发量 1081.7mm, 年均相对湿度 60%。区内土壤、植被类型复杂, 具有明显垂直梯度和水平差异, 森林土壤为山地灰褐土和亚高山灌丛草甸土。山地森林生态系统主要有青海云杉群落(Community picea crassifolia)、祁连圆柏群落(Community sabina przewalskii)、高山灌丛群落和中低山阳性灌木群落组成, 以青海云杉群落为主。

## 2 研究方法

2.1 选择青海云杉林的典型林分和对照观测点(见表 1), 在西水大野口典型林分内架设梯度观测塔(高 30m), 安装 ZSAC 小气候自动记录仪。该记录仪由中国农业大学和内蒙古林学院共同研制, 设有 24 个通道, 分别观测不同层次温度、湿度、辐射、风速、土壤热通量、地温等多种因子。

表 1 辐射观测试验地简况

试验地	林区	位置	海拔	坡向	坡度	郁闭度(或盖度)
黑洼云杉林	寺大隆	38°27'N, 99°54'E	2670m	N	27°	0.5
黑洼草林	寺大隆	38°27'N, 99°54'E	2700m	SW	30°	60
排露沟云杉林	西 水	38°24'N, 100°17'E	2650m	N	30°	0.4

2.2 选择典型天气(晴天)利用辐射仪器, 在寺大隆各观测点测定辐射因子, 利用小气候自动记录仪分层布设的辐射探头和温湿度探头, 在西水大野口测点全天候连续测定辐射因子和各相关因子。

2.3 使用 TBQ 总日射表人工观测时用下面公式(1)计算辐射日总量; 使用小气候记录仪观测时用公式(2)计算辐射日总量; 利用公式(3)计算有效辐射日总量(或净长波辐射 I), 统一使用国际单位  $W \cdot m^{-2}$ 。

1) 林业部“八五”重点资助项目; 本文由王金叶执笔。

$$\begin{aligned}\sum Q_s &= (Q_{t_1}/2)(t_1 - t_0) \\ &+ 30(Q_{t_1} + Q_{t_2}) + 60(Q_{t_2} \\ &+ \cdots + Q_{t_{n-1}}) + (Q_{t_n}/2)(t'_0 - t_n)\end{aligned}\quad (1)$$

式中,  $\sum Q_s$  为辐射日总量 ( $\text{W} \cdot \text{m}^{-2}$ );  $Q_{t_1}, Q_{t_2}, \dots, Q_{t_n}$  为每小时观测的辐射通量 ( $\text{W} \cdot \text{m}^{-2}$ );  $t_0$  为日出时间;  $t'_0$  为日落时间;  $t_1, t_2, \dots, t_n$  为测定时间。

$$\sum Q_s = 60 \sum Q_t \quad (2)$$

$Q_t$  为每小时观测的辐射通量 ( $\text{W} \cdot \text{m}^{-2} \cdot \text{h}^{-1}$ );  $t$  代表观测时间。

$$I = 698[\delta\sigma T^4(0.39 - 0.058\sqrt{e}) \\ \cdot (1 - cn^2) + 4\delta\sigma T^3(T_0 - T)]^{[1]} \quad (3)$$

式中,  $I$  为净长波辐射 ( $\text{W} \cdot \text{m}^{-2}$ );  $\sigma$  为灰体辐射系数, 森林为 0.95;  $\delta$  表示波尔兹曼常数;  $T, e$  分别为地上的温度 (K) 和绝对湿度;  $n$  为总云量;  $c$  是经验系数 (0.67)。

### 3 结果与分析

#### 3.1 青海云杉林内外总辐射比较

利用寺大隆定位站观测点 8 月 4—10 日连续 7 个晴天的辐射观测资料, 用公式(1)计算出, 青海云杉林内总辐射日总量为  $86342.6 \text{ W} \cdot \text{m}^{-2}$ , 林外为  $422485.44 \text{ W} \cdot \text{m}^{-2}$ , 林内外日总量比值为 0.204, 差异极大。这主要是由于林冠对太阳直接辐射强烈削弱(吸收、反射)和坡向、坡度的不同而引起。为了消除坡向、坡度的影响, 利用公式:  $Q' = Q[\sinh \cos\alpha + \cosh \cos(A - \beta)\sin\alpha]$ <sup>[2]</sup>

式中,  $Q'$  为坡面上的总辐射 ( $\text{W} \cdot \text{m}^{-2}$ ),  $Q$  代表水平面上的总辐射 ( $\text{W} \cdot \text{m}^{-2}$ ),  $h$  为太阳高度角;  $A$  为太阳方位角;  $\alpha$  代表坡度;  $\beta$  为坡向。

计算出青海云杉林上空实际接受的日总辐射为  $296412.68 \text{ W} \cdot \text{m}^{-2}$ , 林内比林外总辐射实际减少 71.02%。分析认为是由于林冠

的遮蔽作用, 使林内日照时数 (1.9 h) 仅为林外 (5.9 h) 的 35.19%, 林冠吸收、反射约 70% 的太阳辐射能。林内太阳总辐射减少形成了有利于云杉幼苗生长发育的湿润环境。

林外总辐射日变化呈正态单峰线, 中午 13 时前后出现最大值; 林内总辐射日变化在中午 12 时前后出现陡升陡降现象, 最大值出现在中午 12 时(图 1), 这是由于正午 12 时太阳高度角最高, 直接辐射被削弱最小而引起。

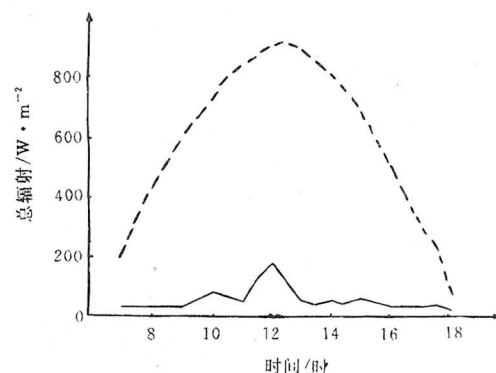


图 1 林内外总辐射日变化

实线: 林内总辐射, 断线: 林外总辐射

#### 3.2 净辐射变化规律

西水大野口青海云杉林冠层日净辐射 9—10 月份平均为  $127020 \text{ W} \cdot \text{m}^{-2}$ , 占总辐射 57.45%, 日均极值差为 270660; 林内日净辐射为  $40114 \text{ W} \cdot \text{m}^{-2}$ , 占总辐射 18.14%, 日均极值差 96960(表 2); 净辐射林内外之比为 0.3158, 日均极值差之比为 0.3582, 说明青海云杉林冠层的有效辐射能是林内的 3 倍多, 林内净辐射变幅小于林外。

表 2 1995 年 9—10 月净辐射统计表(单位:  $\text{W} \cdot \text{m}^{-2}$ )

位置	日净辐射	最大净辐射	最小净辐射	极值差
林内 2m	40114	96960	0	96960
林冠层	127020	270660	1380	270660

分析典型天气(晴天)净辐射日变化(图2),林内和林冠层净辐射与总辐射日变化趋势相同,呈正态单峰线,净辐射一般白天为正值,夜间为负值,在一天内出现两个零值。第一次零值出现林内滞后于林冠层,第二次零值出现林内超前于林冠层,表明在一日内林内净辐射变幅小,林冠层净辐射变幅大,白天林冠层获得的能量比林内多,夜间林冠层阻挡了地面长波辐射,使林内净辐射大于林冠层。

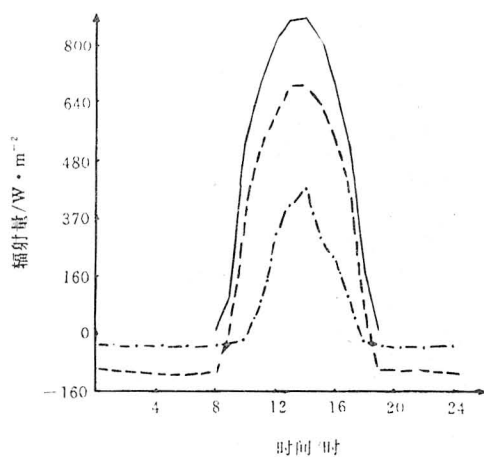


图2 净辐射日变化

实线:总辐射,断线:林冠层净辐射,点划线:林内净辐射

### 3.3 净全辐射

对辐射平衡方程:  $R = Q_s - Q_r - I$

式中,  $R$  是净全辐射(或辐射差额);  $Q_s$  代表总辐射;  $Q_r$  为反射辐射;  $I$  为净长波辐射。各因子利用辐射和小气候观测资料进行统计推算(表3),显示出青海云杉林冠层10月份净全辐射日总量为  $110208 \text{ W} \cdot \text{m}^{-2}$ , 辐射平衡各分量在总辐射中所占比例为: 反射辐射 12.07%, 净长波辐射 29.46%, 净全辐射 58.47%。

表3 1995年10月1—15日辐射平衡各因子统计  
(单位:  $\text{W} \cdot \text{m}^{-2}$ )

因子	$Q_s$	$Q_r$	$I$	$R$
数值	188244	22712	55457	110075
百分率(%)	100	12.07	29.46	58.47

### 3.4 辐射平衡因子相关性

根据辐射平衡各因子实测和计算数据,进行线性回归  $Y = aX + b$ , 建立相关方程, 并做  $F$  检验(表4), 相关系数为:  $r_{Q_r} = 0.9986$ ,  $r_i = 0.8968$ ,  $r_R = 0.9929$ ,  $F$  检验值  $F_i >> F_{0.05(1,13)}$ , 证明线性回归关系显著, 方程可以用来通过总辐射测定, 推算辐射平衡各因子。

表4 辐射平衡因子与总辐射的相关方程

相关方程	相关系数	$F_i$	$F_{0.05(1,13)}$
$Q_r = 0.1225Q_s - 355.77$	0.9986	4545.56	
$I = 0.1762Q_s - 22289$	0.8968	53.42	4.67
$R = 0.7013Q_s - 21932$	0.9929	905.11	

## 4 结论

4.1 林冠遮蔽使青海云杉林林内总辐射比林外减少 71.02%, 林内形成了有利于幼苗生长发育的湿润环境。

4.2 青海云杉林林内净辐射仅为林冠层的 31.58%。林内净辐射变幅小于林冠层, 其值白天小于林冠层, 夜间大于林冠层, 是由于白天林冠层获得的能量多, 夜间林冠层阻挡了地面长波辐射造成。

4.3 辐射平衡各分量在总辐射中所占的比例为: 反射辐射 12.07%, 净长波辐射 29.46%, 总净全辐射 58.47%。

4.4 辐射平衡各分量与总辐射线性相关紧密, 可以用总辐射观测值推算辐射平衡各因子。

## 参考文献

- 1 马雪华. 森林生态系统定位研究方法. 北京: 中国科学技术出版社, 1994: 246—256.
- 2 翁笃鸣. 小气候和农用小气候. 北京: 农业出版社, 1983.

## Research on Radiation Budget of Qinghai Spruce Forest in Qilian Mountain

Wang Jinye Zhanghu Che Kejun Yan Wende Wang Yilin

(Water Source Forest Institute of Qilian Mountain, Gansu Province, 734000)

### Abstract

The radiation budget of Qinghai spruce (*Picea crassifolis*) forest was studied. The ratio of the components of radiation budget to the global radiation in the spruce forest crown was given, that is 12.07% for the reflection, 29.46% for the long wave net radiation, and 58.47% for net radiation. The relationship between the components and the global radiation is a linear correlation. The global radiation within the forest crown decreases by 71.02% than that out of the forest. Amplitude of net radiation in the forest is less than that within the plant crown.

**Key Words:** Qilian Mountain Qinghai spruce forest radiation budget net radiation